



脈動系內에 物質傳達이 있을때의 無次元群

李 源 國

韓國科學院

(접수 1974. 11. 1)

Dimensionless Groups in Vibrating Systems accompanying Mass Transfer

Won Kook Lee

Korea Advanced Institute of Science, Seoul 131, Korea

(Received November 1, 1974)

要 約

振動, 脈流 및 音波作用 等의 脈動을 工程內에 導入하여 物質傳達率을 增進시키려고 할 때의 系內의 特性을 分析하기 위하여 考慮해야 할 主要한 無次元數에 對해서 考察하였다. 脈動系內에서 物質傳達現象이 일어날 때는 系全體가 亂流가 아닐 때도 極部의 亂流가 振動物體의 境界近處에서 亂擴散이 일어남을 推論할 수 있으며, 이 때의 亂擴散係數는 a^2f 에 比例하고, 振動物體의 狀態가 單一 vibrational mode 일 때는 a^2f/vD 가 重要하며, combined mode 일 때는 $a^2f/vD/\mu$ 가, 또 crowded bubble system 에서는 $\rho(af)^2l/\sigma$ 가 重要함을 次元解析과 實驗結果에서 確認하였다.

Abstract

Important dimensionless groups were investigated to find basic experimental correlations in vibrating systems. When mass transfer occurred in the system, it was deduced that eddy diffusion took place locally near the vibrating bodies without having turbulent flow in the whole system. The eddy diffusivity in the system turned out to be proportional to the factor, a^2f . For a system in a single vibrational mode, a^2f/vD was a very important dimensionless group. For a combined vibrational mode system, $\rho a^2f/vD/\mu$, and for a crowded bubble system $\rho(af)^2l/\sigma$ became important. These conclusions were confirmed both by dimensional analysis and by experimental results.

1. 緒 論

物質傳達速度를 增進시키기 위하여 化學工程系內에 振動¹⁾ 脈流²⁾, 또는 音波^{3), 4)}等을 導入하여 考察한 事例는 많다. 그러나 物質傳達速度의 增加의 原因에 對해서는 아직 適切한 解明이 되어있지 않다. 本研究에서는 이原因의 解明을 試圖함과 同時에, 一般的으로 이런 振動系에서 重點으로 考慮해야 할 無次元群에 對해서 考察해 보았다.

振動系에서 振幅과 振動數가 큰影響을 줌은 잘 알려져 있으며, 또 振動體를 考察할 때에는 振動 mode를 觀察해야 하며, 振動體相互間의 影響을 일기 위해서는 振動體間의 距離가 重要的要素가 될 수 있다.

따라서 우선 振動系內에서의 振動速度를 解明하고, 이 speed가 亂擴散係數에 미치는 影響을 推論하여 系內에서 일어나는 全體의現象을 考察하고자 한다.

2. 理論的 考察

(1) 振動速度 : 振動系內에서의 平均振動速度는 bubble 일 경우 Jackisch³⁾ 및 Lee⁴⁾의 bubble 表面의 velocity equation에서 쉽게 얻어진다.

$$v_r = a_n w_n \left(\frac{R_o}{r} \right)^{n+2} P_n \cdot \cos w_n t \quad (1)$$

$$v_\theta = \frac{a_n w_n}{n+1} \left(\frac{R_o}{r} \right)^{n+2} P_n' \cdot \cos w_n t \quad (2)$$

이 式들에서 time average는 maximum vibration point에서

$$\bar{v}_r|_{r=R_o} = a_n w_n P_n [\cos w_n t]_{av} \quad (3)$$

여기서 maximum vibration point에서 $P_n=1$ 임으로

$$\bar{v}_r|_{r=R_o} = a_n \cdot 2\pi f_n \cdot (2/\pi) = 4a_n f_n \quad (4)$$

即 af 의 四倍이니, 또

$$\begin{aligned} \bar{v}_\theta|_{r=R_o} &= \frac{a_n w_n}{n+1} P_n' [\cos w_n t]_{av} \\ &= \frac{a_n 2\pi f_n}{n+1} \left(\frac{2}{\pi} \right) \cdot = \frac{4a_n f_n}{n+1} \end{aligned} \quad (5)$$

即 af 의 $4/(n+1)$ 倍이다. 따라서 mode n 가 커질수록 \bar{v}_θ 는 \bar{v}_r 에 比해서 無視될 수 있을 程度로 작아짐을 알 수 있다.

또 이 式들에서 振動體의 表面速度가 af 에 比例함으로 無次元數中의 速度項을 振動系에서는 af 로 代置한

수 있음을 알게 된다.

(2) 振動擴散係數 : Jackisch³⁾는 vibrational diffusivity 가

$$\mathcal{D}_{vib} \approx a^2 f$$

라고 主張했다. 그러나 Lee⁴⁾의 계산 및 實驗結果에 依하면 이는 約 1000倍가량이나 큰 值을 나타내고 있다. 그래서 이때의 diffusivity는 振動體로 因한 境界近處에서의 local turbulence 때문에 생기는 eddy diffusion일 것이라는 假定下에 Hinze⁵⁾의 turbulent theory를 導入하여 誘導하면⁴⁾

$$\mathcal{D}_{vib} = \left(\frac{2\alpha}{\pi} \cdot \frac{a_n w_n}{n+1} \right)^2 \frac{1}{2\pi} \int_0^{2\pi} P_n' (\cos \theta) \int_0^J \frac{v(t) \cdot v(t+\tau)}{v(t)^2} d\tau d\theta \quad (6)$$

이 된다. $a^2 f$ 와 \mathcal{D}_{vib} 의 관계를 computer로 연관시킨 結果는

$$\mathcal{D}_{vib} \approx \frac{a^2 f}{760} \quad (7)$$

이 結果는 前記의 測定結果와 잘一致한다. 이를 逆으로 생각할 때 $a_n w_n$ 는 $4\pi af$ 임으로 (6)식의 마지막 項인 Lagrangian correlation coefficient의 積分值

$J_L = \int_0^J \frac{v(t) \cdot v(t+\tau)}{v(t)^2} d\tau$ 는 振動系에서는 f 에 逆比例함을 알 수 있다. 따라서 振動系의 無次元群中의 diffusivity는 $a^2 f$ 로 代置할 수 있음을 알게 된다.

(3) 次元解析 : 一般的으로 convective diffusion은

$$\frac{\partial c}{\partial t} + (\vec{v} \cdot \text{grad})c = \mathcal{D} F^2 c \quad (8)$$

로 表示되며, 이를 dimensional form로 바꿔쓰면

$$\left[\frac{c}{t} \right] + \left[\frac{vc}{L} \right] = \left[\frac{\mathcal{D} c}{L^2} \right] \quad (9)$$

이다. 첫項과 둘째項은 $v=L/t$ 임을 생각할 때 dimension이同一함으로 둘째項으로 右側項을 나누면

$$\phi_1 \left(\frac{\mathcal{D}}{vL} \right) = \text{const.} \quad (10)$$

또 vibrational system內에서는 \mathcal{D} 는 \mathcal{D}_{vib} 임으로 이를 代置하면

$$\phi_2 \left(\frac{\mathcal{D}_{vib}}{vL} \right) = \text{const.} \quad (11)$$

또는

$$\phi_3 \left(\frac{a^2 f}{vL} \right) = \text{const.} \quad (12)$$

即 vibrational Peclet number 라고 부를 수 있는 $a^2 f / \nu D$ 가重要的 dimensionless group 임을 알 수 있다.

또 振動體 自體를 생각할 때는 mode n 이重要하며,³⁾ 또 振動體 相互影響을 생각할 때는相互距離 및 表面張力이 影響을 줄 것임으로 vibrational Weber number 라고 부를 수 있는 $\rho(af)^{1/2} l / \sigma_0$ 重要한 것임을 알 수 있다. 따라서 完全한 dimensionless form 은

$$\phi\left(\frac{a^2 f}{\nu D}, n, \frac{\rho(af)^{1/2} l}{\sigma_0}\right) = \text{const.} \quad (13)$$

이다.

3. 實驗裝置 및 方法

Vibrating system에서의 物質傳達速度의 增加量測定하기 위해 Fig. 1과 같은 裝置를 利用하였다.

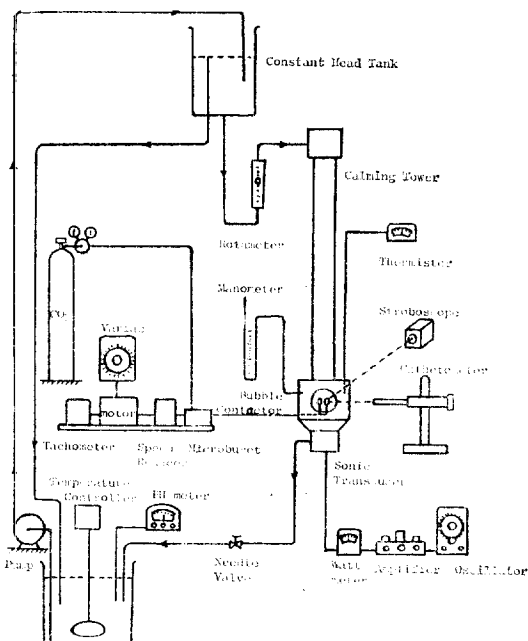


Fig. 1. Schematic diagram of experimental apparatus

水槽內에는 溫度調節裝置와 pH meter 가 붙어 있어 온도와 pH가 恒常 읽어지고 있으며, 調節된 물은 pump로서 constant head tank로 보내지고 여기서 rotameter 및 calming tower를 지나서 bubble contactor를 通하여 水槽로 되돌아간다. CO₂ gas가 tank에서 壓力調整器를 通하여 microburet 속에 들어가고, 이는 또 motor에 依해서 tubing을 通하여 contactor 내에

있는 bubble tip로 나가 그 끝에서 CO₂의 bubble을 만든다. Bubble의 크기와 振幅은 stroboscope와 cathetometer에 依해서 测定하고, bubble은 sonic transducer에 依해서 振動되며, 그 振動數와 振幅은 oscillator와 amplifier에 依해서 調整된다.

三個의 bubble tip을 正三角形을 이루도록 配置하였으며, tip은 거리를 서로任意로 조정할 수 있게 하였다. Bubble의 必要한 數에 따라 tip을 하나, 둘, 또는 셋을 利用하여 同時에 만들고 거리를 조정하면서 觀察하였다. 물질을 담은 總量은 bubble의 크기를 cathetometer로 觀測하여 一定하게 조정하고 一定時間동안의 microburet를 通하여 tip으로 옮아간 gas의 量으로 定하였으며, bubble이 振動하였을 때와 진동하지 않았을 때의 總量의 差를 振動으로 因한 傳達率의 增加로 하였다. 振幅은 stroboscope로서 振動모양을 천천히 볼 수 있도록 하여 cathetometer로서 읽었다. 또 振動數는 bubble이 共鳴振動을 일으킬 때의 stroboscope의 frame數와 oscillator의 振動數로서 읽었다.

4. 實驗結果

Bubble의 數에 따른 物質傳達速度의 增加量測定한結果는 Fig. 2와 같다.

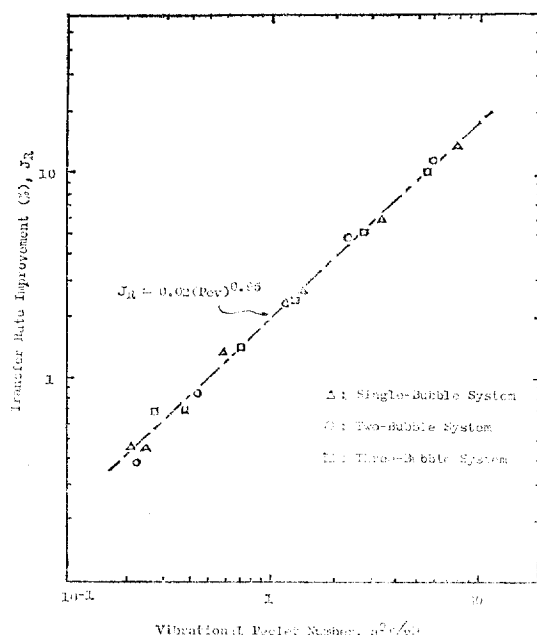


Fig. 2. Plot of mass transfer rate improvement versus vibrational Peclet number.

위의結果에서 보는바와같이 全般的으로 data 들이 系內의 全體의 bubble 數는 bubble 間의 거리가 어느程度以上으로 維持될때는 物質傳達速度의 增加에 影響을 주지 않는것을 나타내고 있다. 即 bubble 가 한개때나, 두개, 세개때나 別差가 없이 거의一致함은 이를 말해 주고있다. 그리고 傳達速度增加는 single bubble 때와 마찬가지로 vibrational Peclet number 와 vibrational mode 의 函數로 表示되어 그結果式은

$$J = 0.02Pe_v^{0.95}n^{1.4} \quad (14)$$

으로 表示되었다. 이때 勿論 모든 bubble 은 한 實驗 set 에서는 같은 크기, 그리고 같은 振動數로서 振動시켰다.

그러나 위의 (14)식은 bubble 間의 거리가 짧아짐에 따라서 그대로 유지되지 않고 겹차增加率이 줄어드는 경향을 보였다. 그래서 이 (14)식의 適用範圍를決定하기 위해서 거리와 增加率間의 關係를 測定한 結果는 Fig. 3 과 같다.

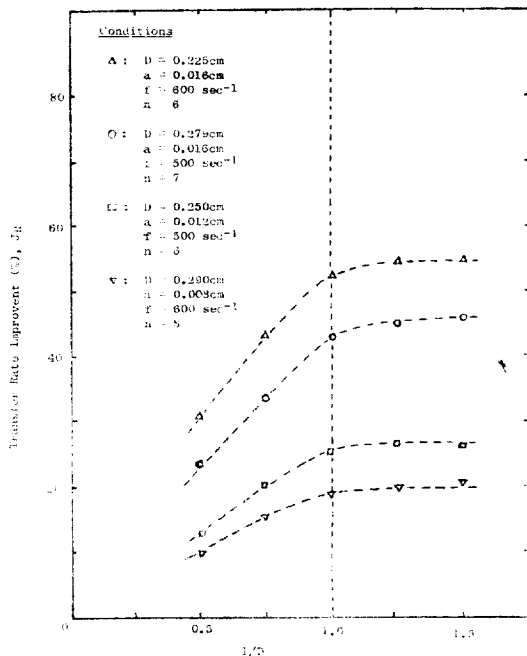


Fig. 3. Plot of mass transfer rate improvement versus bubble distance for various bubble size.

이 結果에서 뚜렷이 나타나는 바와같이 bubble 이 $l/D > 1$ 일때는 振動物體間의 거리가 移動率增加에 거의 影響을 주지 않았으나 $l/D < 1$ 일때는 거리가 작아짐

에 따라 그 영향이 겹차 커짐을 알 수 있으며, 이를 vibrational weber number 와 關聯시키면 Fig. 4 와 같다.

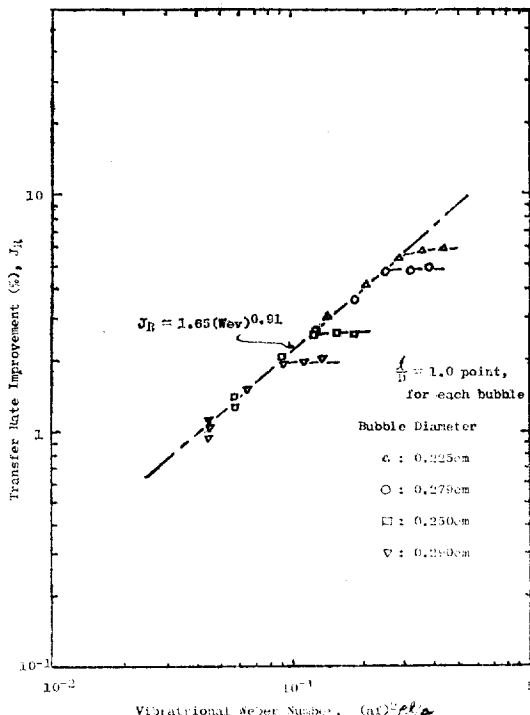


Fig. 4. Plot of mass transfer rate improvement versus vibrational Weber number.

a) Correlation의 實驗式은

$$J_R = 1.65(We_v)^{0.91} \quad \text{for } l/D < 1 \quad (15)$$

으로 나타났으며 이때 vibration Weber number 가 重要한 factor 임을 알 수 있다.

5. 結果의 考察

Lamb equation⁶⁾

$$f_n = \frac{1}{2\pi R_0} \left[\frac{(n^2 - 1)(n+1)\sigma}{\rho_0 R_0} \right]^{1/2} \quad (16)$$

을 考察할때 n 이 커짐에 따라

$$f_n \propto n^{3/2} \quad \text{또는} \quad n \propto (f_n)^{2/3}$$

의 關係가 있음을 알 수 있고, 이結果를 (14)식에 代入하면

$$J \propto (a^2 f)^{0.95} [(f)^{2/3}]^{1.4} \approx (a^2 f)^{0.95} (f)^{0.93}$$

$$\text{또는} \quad J \propto (af)^{1.90} \quad (17)$$

이結果를 考察할때 增加率 J 는 vibrational mode n 이 여러가지로 복합된 mode 일때는 af 即 vibrational velocity 에 영향을 받는다는 것을 알수 있다. 이는 이 제까지의 여러研究者들이 增加率은各自의 實驗結果에 따라 a 에 더 큰 영향을 받는다고 主張한 사람들⁷⁾과 a 나 f 에 같은 영향을 받는다고 主張한 사람들^{8), 9)}의 異論을 解消시켜 준다. 即 振動體가 Single mode 일때는 a 가 더큰 영향을 주며, combined mode 일때는 a 와 f 가 같은 영향을 준다는것이다.

그래서 J 를 af 와 연관을 시켜보면 $(af)^{1.95}$ 에 比例하게 되며 이指數 1.95는 Lemlich 等^{8), 9)}의 2.13과 比較的 잘一致한다. 이結果는 또 이런 Combined mode 의 vibrational system 에서는 vibrational Peclet number 보다는 vibrational Reynolds number afD/ν 의 函數임을 말해주며, data의 correlation에서

$$J=252.3(Re_v)^{1.95} \quad (18)$$

임을 나타내었다.

6. 結論

以上의 結果에서 다음과같은 結論을 내릴 수 있다.

- 1) 振動系에서는 $Pe_v=a^2f/vD$, $Re_v=D(af)\rho/\mu$ 및 $We_v=\rho(af)^2l/\sigma$ 가 重要한 無次元群이다.
- 2) 單一 振動 mode 로서 振動體가 振動할때는 Pe_v 가 重要하여

$$J_R=0.02(Re_v)^{0.95}$$

로 表示된다.

- 3) 複合 振動 mode 로서 振動할때는 Re_v 가 重要하여

$$J=252.0(Re_v)^{1.95}$$

로 表示된다.

- 4) Crowded bubble system 에서는 $l/D>1$ 일때는 振動體間의 거리는 物質傳達增加率에는 無關하나, $l/D<1$ 일때는

$$J_R=1.65(We_v)^{0.91}$$

로 表示된다.

Nomenclature

a	amplitude, cm.
c	concentration, gm-mole/cm ³
D	bubble diameter, cm
\mathcal{D}	diffusivity, cm ² /sec.

f	frequency, sec ⁻¹
J	mass transte rate improvement, $N_v/N_o - 1$
J_R	$J/n^{1.4}$
l	distance between bubbles, cm.
n	vibrational mode.
N	mass transfer rate, gm/sec. —cm ²
Pe_v	vibrational Peclet number, a^2f/vD
P_n	n -th order Legendre polynomial
P'_n	$\sin\theta \frac{dP_n}{d(\cos\theta)}$
r	bubble radius, cm
R_o	bubble radius at equilibrium, cm.
Re_v	vibrational Reynolds number, $D(af)\rho/\mu$
t	time, sec
v	velocity, cm/sec
We_v	vibrational weber number, $\rho(af)^2l/\sigma$
α	fluctuation velocity coefficient
ρ	density, gm/cm ³
ν	kinematic viscosity, cm ² /sec.
σ	surface tension, g/sec ²
w	angular frequency, rad/sec.

Subscripts

r, θ	r -, θ -component
vib	vibration
n	n -th mode

References

1. G. L. Constan and W. Y. Chon, *Chem. Eng. Progr. Symp. Ser.* No 77, 66(1967), 44.
2. F. J. M. Horn and K. L. Kipp, Jr., *Chem. Eng. Sci.* 22(1967), 1879.
3. D. A. Jackisch, Ph. D. Thesis, University of Minnesota, Minneapolis, Minn., 1964.
4. W. K. Lee, Ph. D. Thesis, University of Missouri; Columbia, Mo., 1971.
5. J. O. Hinze, "Turbulence", McGraw-Hill, N. Y., 1959.
6. H. Lamb, "Hydrodynamics," 6th ed., Dover Paperback, N. Y., 1945.
7. D. I. R. Low and J. W. Hodgins, *Can. J. of Chem. Eng.* 41(1963), 241.
8. R. Lemlich, *Ind. Eng. Chem.* 47(1955), 1175.
9. R. Lemlich and M. R. Levy, *AICHE J.* 7(1961), 240.

